

京都大学工学部 正員 松本 翔  
京都大学工学部 正員 白石 成人

1. まえがき 近年、箱型断面やH型断面の低風速域における限界振動について、小林<sup>(1)</sup>、中村<sup>(2)</sup>はそれそれ剝離渦励振、低風速励振として、その発生原因が断面前縁からの剝離渦によるものとして、従来の断面背後に生じるオルマン渦（周期渦）に起因した渦励振とは区別されるべきとの報告がなされている。しかしながらこれらは限界振動や有効に、周期渦特性をもつストロハル数の逆数として定義され、限界風速  $\tilde{V}_{cr}$  の約  $1/2$  付近の風速域で生じるのか、あるいは断面前縁からの剝離渦と断面背後の周期渦とのような関連性を有するのかについては未だ不明な点が多く残されていると言えよう。このような観点に立って、ここでは断面比1:2の矩型断面の  $1/2 \tilde{V}_{cr}$  近傍でのたわみ限界振動に注目し、その発生機構を調べるために基礎的な実験的検討を加えた。

### 2. 断面回りの流れの様子

図1に、たわみ渦励振の生じ始める流速域 ( $\tilde{V} = V/DN = 4.15$ ,  $V$ : 流速,  $D$ : 高さ,  $N$ : たわみ振動数) における断面回りの流れの様子を、水槽実験での高速写真撮影より得た結果のスケッチ図を示す。なお写真1は図1の状態(7)を示す。写真2は渦励振の発生しない低風速域での同様の状態にあらかじめ流れの様子を示す。図1より知られるように前縁より剝離した渦は、断面の1周期振動後、後縁部へ達しており、更に断面後縁では前縁からの剝離渦と、断面が振動することにより生じたと考えられる後縁近傍での強成長渦は存在しない。このことより、前縁からの剝離渦は後縁近傍で、次的な渦の助けを借りることによって断面側面上に沿って安定して渦へと成長し、後縁でこの2次的な渦と一体化して後流へ周期的に放出されてくるようである。

### 3. 後流渦励振用平板設置の影響

$1/2 \tilde{V}_{cr}$  近傍の渦励振が、断面背後の流れを変化させることによりどのような変化が見られるかを調べるために、図2に示すような薄平板（主流方向長さ 60 cm, 幅 93 cm（模型スパン長）、板厚 2 mm；アルミニウム製）を、それぞれ1枚、3枚、5枚、矩型断面 ( $15 \text{ cm} \times 30 \text{ cm}$ ) の後流に設置し、模型断面後縁と平板前縁の距離 ( $X$ ) を変化させて、たわみ振動応答および断面側面への圧力特性を調べた。模型の振動条件はたわみ1自由度系とし、半波長当りの質量 (m) 0.443 kg $\cdot$ sec $^2/m^2$ 、たわみ固有振動数 (N) 2.435 Hz、初期減衰率 ( $\delta_2$ ) 0.01264（且し振幅幅20 mmでの値）である。なお平板の設置位置によっては、振動の減衰特性が変化することも考えられるが、今回は計測されていない。図3および図4に平板1枚および3枚を設置した場合の、平板設置位置 ( $X/D$ ) によるたわみ振動応答変化を示し、図5および図6に、標準風速 ( $\tilde{V}$ ) 4.95 および 6.45 で固定しつゝ、平板設置位置 ( $X/D$ ) によるたわみ振動応

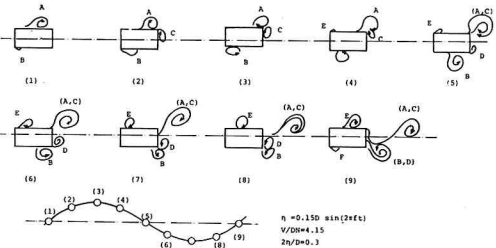


図1 たわみ限界振動状態の流れの様子

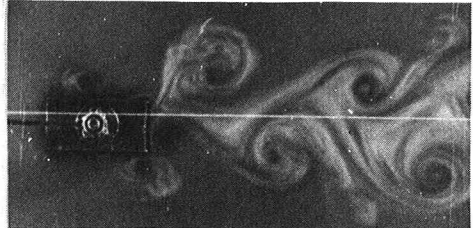


写真1 渦励振発生流速域 ( $\tilde{V} = 4.15, \Delta \theta = 0.3$ )

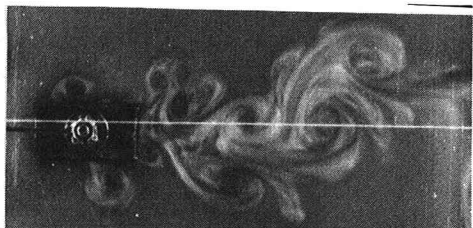


写真2 渦励振発生流速域 ( $\tilde{V} = 3.02, \Delta \theta = 0.3$ )

答振幅の変化特性を示す。これらの図に示されるように、平板設置位置（例  $X/D = 2$ ）によっては平板を設置しない場合 ( $X/D = \infty$ ) よりもたわみ振動応答が大きい、後流域での流れの変化がたわみ振動応答に何らかの影響をおよぼしていることが知られる。 $X/D = 1.0$  や  $1.0$  より小さくなるにつれて、たわみ振動応答は大きくなる傾向が見られ、この傾向は平板1枚より2枚の方が強い。この理由としては  $X/D$  によるたわみ振動の減衰特性の変化を考えられるが、他の理由として、断面後縁部近傍での2次的な渦生成による  $X/D$  による形で影響したためと考えられる。従って今後、 $X/D$  による同一の減衰特性のもとでの実験あるいは  $X/D$  の変化に応じて流れの様子の変化の可視化等が望まれる。図7は換算風速 ( $\tilde{V}$ ) 5.0 速度域でのたわみ定常振動（平板3枚設置、図4の  $\tilde{V} = 5$  の実験参考）状態における断面測面における変動圧力係数および変動圧力とのたわみ振動との位相のずれ角（中：たわみ最大位置を中 =  $0^\circ$  とする。）の結果を示す。図に示されるように  $X/D = 0.167$  では  $\Delta\phi$  が他のケースに比べ異なり、こちらが知られる。一方中については3ケースで大きな差は見られない。以上のことをより  $\tilde{V}$  速度域の断面1:2矩形断面のたわみ減衰振は、前場から剥離渦と後縁部近傍での2次の渦とが周連し合って生じてものと推定されるが今後更に多くの情報を収集しその発生機構をより明らかにすることが望まれる。最後に本研究の実験並行に際し、大阪市立大学松谷留弘氏の協力を得たことに對し謝意を表す。

参考文献 (1) 小林・小松、限定振幅の発生機構 (2) 中村・清江、H型断面柱の減衰振について、土木学会第32回年次講演会 (2) 中村・清江、H型断面柱の減衰振について、土木学会第34回年次講演会

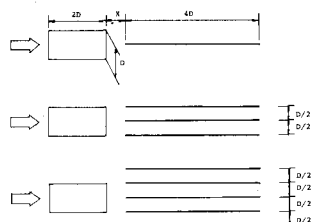


図2. 従来渦破壊用平板設置図

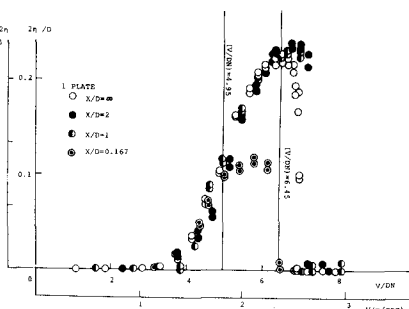


図3. 風速・振幅図(平板1枚設置)

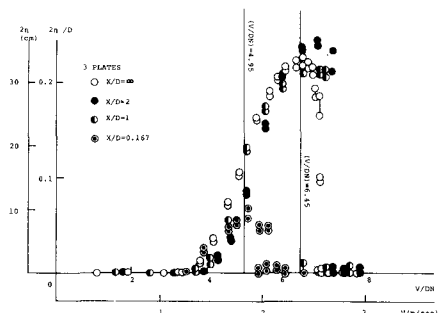


図4. 風速・振幅図(平板3枚設置)

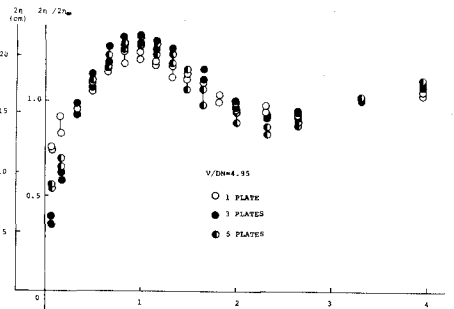


図5. 平板設置位置・振幅図( $\tilde{V} = 4.95$ )

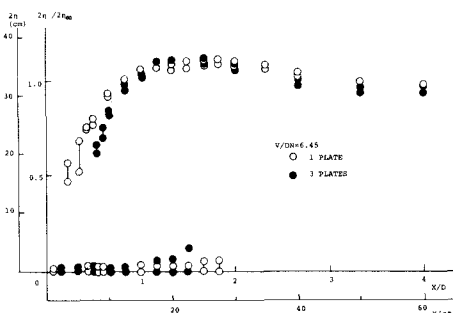


図6. 平板設置位置・振幅図( $\tilde{V} = 6.45$ )

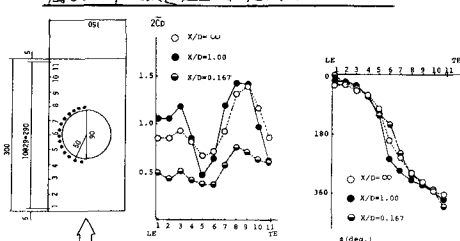


図7. 圧力測定結果(平板3枚設置,  $\tilde{V} = 5$ )